

Evaluation of the CBL family gene expression under drought stress and virus attack in two susceptible and drought tolerant tomato cultivars using semi-quantitative PCR analysis

Peyman Aghaie¹, Mohammad Ali Ebrahimi^{2*}, Sayed Ali Hosseini Tafreshi³,
Maryam Haerinasab¹, Shekoofeh Enteshari¹

¹Department of Biology, Faculty of Science, Payame Noor Universtiy, PO BOX 19395-3697 Tehran, Iran

²Department of Biotechnology, Payame Noor University, Tehran, Iran

³Department of cell and Molecular Biology, Faculty of Chemistry, University of Kashan, PO BOX 8731753153, Kashan, Iran

Abstract

Eleven genes encoding Calcineurin B-Like proteins with a high degree of sequence conservation were identified using bioinformatics approaches in tomato. These proteins classified into five clusters including SICBL1, SICBL3, SICBL4, SICBL8 and SICBL10 using orthology-based method of nomenclature. Sequence analysis showed that all five members of SICBL1 and SICBL4 contained a myristoylation conserved motif (MGXXS/T) at their N-terminals. Semi-quantitative RT-PCR showed that among the SICBL1 members, SICBL1-3 up-regulated under both drought and virus stresses, as well as the combined treatment. Although, both SICBL3-1 and SICBL3-2 up-regulated under both drought and virus stresses in both susceptible and resistant cultivars, the combined stress did not have any additional effect on the expression. Among SICBL4 members, only SICBL4-1 up-regulated under drought or virus attack. There was a diverse pattern of expression between the two SICBL8 members under different stresses in both cultivars. SICBL10 showed no change in expression pattern under drought or virus stresses in susceptible cultivar and this gene showed to be up-regulated under drought in resistant cultivar. Overall, it was concluded that changes in the expression pattern of CBL genes under biotic and abiotic stresses seemingly induced various CBL/CIPK pathways in susceptible or resistant plants.

Key words: Calcineurin B-Like proteins, Calcium, Drought stress, Gene expression, Tomato, Virus attack

* ma_ebrahimi@pnu.ac.ir

بررسی میزان بیان ژن‌های خانواده CBL، در تنش خشکی و حمله ویروس در دو رقم حساس و مقاوم به خشکی گوجه‌فرنگی با روش PCR نیمه کمی

پیمان آقائی^۱، محمدعلی ابراهیمی^{۲*}، سید علی حسینی تفرشی^۳، مریم حائری نسب^۱، شکوفه انتشاری^۱

^۱ گروه زیست‌شناسی، دانشگاه پیام نور، تهران، ایران

^۲ گروه بیوتکنولوژی، دانشگاه پیام نور، تهران، ایران

^۳ گروه سلولی و مولکولی، دانشکده شیمی، دانشگاه کاشان، کاشان، ایران

چکیده

کلسیم، یک جزء حیاتی مهم برای شماری از مسیرهای انتقال پیام در گیاهان است که به واسطه انواعی از گیرنده‌های اختصاصی از جمله پروتئین‌های شبه کلسی نورین B (CBL) در درک تنش‌های محیطی، عمل می‌کند. در پژوهش حاضر، با رویکردهای بیوانفورماتیک، ۱۱ ژن رمزکننده پروتئین‌های شبه کلسی نورین B با درجه حفاظت‌شدگی زیاد در گیاه گوجه‌فرنگی شناسایی و تأیید شد. با بهره‌گیری از یک روش مبتنی بر ارتوژنی، این پروتئین‌ها به ۵ کلاس مجزای SICBL1، SICBL3، SICBL4، SICBL8 و SICBL10 تقسیم‌بندی و نام‌گذاری شدند. تحلیل توالی‌های پروتئینی نشان داد که همه اعضای CBL‌های ۱ و ۴ که شامل ۵ پروتئین می‌شوند، یک ناحیه حفاظت‌شده مرستویلاسیون در بخش N-ترمینال دارند. بررسی با روش PCR نیمه کمی نشان داد که میان CBL‌های کلاس ۱، بیان ژن 3-SICBL1 در هردو تنش خشکی، حمله ویروس و ترکیب این دو، تنها در رقم حساس افزایش داشته است. درباره CBL‌های کلاس ۳، اگرچه دو ژن 1-SICBL3 و 2-SICBL3 در تنش خشکی در هردو رقم حساس و مقاوم، افزایش بیان نشان دادند، اعمال هم‌زمان دو تنش، اثر افزایشی بر بیان این ژن‌ها نداشت. بین دو همولوگ کلاس ۴، تنها 1-SICBL4 در هردو تنش خشکی و ویروس افزایش بیان نشان داد. براساس نتایج، رفتار بیانی ژن‌های کلاس 8-SICBL در شرایط مختلف تنش و ارقام مختلف، متنوع بود. بیان تنها ژن موجود در کلاس 10-SICBL نیز در رقم حساس با هیچ‌کدام از تنش‌های یادشده افزایش نیافت و تنها در رقم مقاوم، در تنش خشکی افزایش بیان داشت. به‌طور کلی، استنباط شد که با تغییر الگوی بیان ژن‌های CBL در هردو تنش زیستی و غیرزیستی، احتمالاً مسیرهای پیام‌رسانی CBL/CIPK متفاوتی در گیاهان حساس و مقاوم فعال می‌شوند.

واژه‌های کلیدی: بیان ژن، پروتئین‌های شبه کلسی نورین B، تنش خشکی، حمله ویروس، کلسیم، گوجه‌فرنگی

مقدمه

گیاهان به دلیل ناتوانی در جابه‌جایی، به کسب توانایی‌های ویژه در برابر تنش‌های محیطی مختلف نیاز دارند. این موجودات باید بتوانند پیام‌های مختلف محیطی را دریافت، احساس و درک کنند و متناسب با آن پاسخ دهند. از پرسش‌های اساسی در گرایش‌هایی مانند فیزیولوژی و اکوفیزیولوژی گیاهی این است که گیاهان چگونه پیام‌های مرتبط با شرایط تنش را درک و خود را با آن سازگار می‌کنند (Reddy *et al.*, 2011). به طور کلی، تنش‌های مختلف محیطی بروز تغییراتی مهم را در سطح بیان بسیاری از ژن‌ها در گیاهان سبب می‌شوند و چنین تغییراتی به تجمع یا کاهش متابولیت‌های ویژه، تغییراتی در رفتار آنزیم‌ها و میزان سنتز پروتئین‌ها و ایجاد پروتئین‌هایی جدید منجر می‌شود (Zhu, 2016).

نقطه آغاز هرگونه سازگاری گیاه در برابر تنش، درک محرک‌های محیطی با سازوکارهای مختلف است. در این میان، سازوکارهای مرتبط با مسیرهای پیام‌رسانی وابسته به کلسیم، اهمیت ویژه‌ای دارند. نقش غلظت و الگوی توزیع کلسیم داخل سلول در انتقال پیام‌های تنشی در گیاهان به خوبی اثبات شده است (Pandey *et al.*, 2015). بررسی‌ها نشان داده‌اند که طیفی از محرک‌ها از جمله خشکی، شوری، دمای زیاد، نور شدید، هورمون‌ها، پاتوژن‌ها و عوامل گره‌زایی، تغییراتی در سطح کلسیم سیتوزولی القا کرده‌اند (Monihan, 2011). در این میان، کالمودولین‌ها (Calmodulin)، پروتئین‌کینازهای وابسته به کلسیم (Calcium-dependent protein kinase) و پروتئین‌های شبه کلسی‌نورین B-Like (Calcineurin B-Like

proteins)، اصلی‌ترین گیرنده‌های کلسیمی در سلول‌های گیاهی هستند که نقش مهمی در انتقال پیام‌های مرتبط با کلسیم دارند (Shao *et al.*, 2008).

پژوهش‌هایی که به تازگی بر هر دو مجموعه جانوری و گیاهی انجام شده‌اند، نشان دادند که پیام کلسیم، نه تنها با غلظت درون‌سلولی یون Ca^{2+} ، بلکه با ویژگی‌های مکانی و زمانی آن در سلول نیز بیان می‌شود و اغلب بسته به ماهیت پیام‌های خارجی، متفاوت است (Rudd and Franklin-Tong, 2001). بنابراین هر پیام، مجموعه متمایزی از تغییرات Ca^{2+} ایجاد خواهد کرد که مانند رمز عمل می‌کند. فرایند بازگشایی رمزها، با اتصال متفاوت Ca^{2+} به گیرنده‌های اختصاصی دارای میل ترکیبی زیاد آغاز می‌شود. برهم‌کنش میان گیرنده‌ها و عوامل فرودست آنها اغلب عملکرد دیگر پروتئین‌ها از جمله، عوامل رونویسی یا پروتئین‌های غشایی را تعدیل و تغییراتی در روند فرایندهای سلولی از جمله بیان ژن و شارش یون‌ها ایجاد می‌کند.

"پروتئین‌های شبه کلسی‌نورین B" که به اختصار آنها را CBL می‌نامند، خانواده‌ای از حسگرهای کلسیمی هستند که به سبب شباهت بخشی از ساختارشان با زیرواحد تنظیمی B در کلسی‌نورین فسفاتازهای جانوری به این نام معروف شده‌اند (Kudla *et al.*, 1999; Batistič and Kudla, 2009). این پروتئین‌ها هم از نظر فیزیکی و هم از نظر عملکردی با گروه ویژه‌ای از پروتئین‌ها موسوم به پروتئین‌های کینازی برهم‌کنش کننده با CBL (CBL-Interacting Protein Kinase یا CIPK) تعامل دارند و فعالیت کینازی آنها را تنظیم می‌کنند (Batistic *et al.*, 2011).

گیاهی مانند پاسخ به آبسزیک اسید و بیوستتز این ماده در جریان جوانه‌زنی دانه‌ها، به گونه‌ای متفاوت از CBL1 عمل کند (Pandey *et al.*, 2004). همچنین پژوهش‌های Pandey و همکاران (۲۰۱۵) بر نقش هر دو CBL2 و CBL3 آراییدوپسیس در همراهی با CIPK21 در تنش اسمزی و شوری تأکید دارند. در پژوهش دیگری به نقش CBL10 در مسیر مقاومت به نمک اشاره شده است (Kim *et al.*, 2007؛ Quan *et al.*, 2007). از سویی مشخص شده است که مسیرهای CBL-CIPK در مجموعه‌های انتقال عناصر غذایی، تنظیم‌کننده هموستازی یون‌های سدیم، پتاسیم، نترات و پروتون هستند (Xu *et al.*, 2006؛ Ho *et al.*, 2009).

در مجموع، به نظر می‌رسد که شیوه و میزان متفاوت بیان ژن‌های مختلف CBL هنگام رویارویی با تنش‌های مختلف، متناسب با نقش فیزیولوژیک و جهت‌گیری عملکردی پروتئین‌های آن، تغییر کند (Pandey *et al.*, 2015). از آن‌جا که تاکنون بررسی جامعی درباره نقش پروتئین‌های CBL و بیان متفاوت آنها در شرایط تنش زنده و غیرزنده انجام نشده است، در پژوهش حاضر، بیان ژن‌های خانواده CBL در شرایط تنش خشکی، حمله ویروسی و اعمال هم‌زمان هر دو تنش در دو رقم مقاوم و حساس گوجه‌فرنگی یعنی گیاه الگو بررسی و مقایسه شده است. پژوهشگران، این گیاه را به علت ارزش اقتصادی مناسب، شناخته شده بودن ژنوم، سرعت زیاد رشد و امکان تکثیر راحت، الگویی برای درک و مقایسه پاسخ‌های بیان ژن‌ها در گیاهان می‌دانند.

در آراییدوپسیس و برنج، حدود ۱۰ نوع CBL شناسایی شده‌اند که به ترتیب با ۲۵ و ۳۰ نوع CIPK برهم‌کنش نشان داده‌اند (Kolukisaoglu *et al.*, 2004). از نظر ساختاری، همه CBLها یک هسته مرکزی و نسبتاً حفاظت شده مشترک با حداقل سه ناحیه متصل شونده به کلسیم به نام EF hand دارند (Batistic and Kudla, 2004). نقش‌های فیزیولوژیک پروتئین‌های CBL و CIPK، نخستین بار در مسیر SOS (Salt Overly Sensitive) در گیاه آراییدوپسیس کشف و معرفی شد (Qiu *et al.*, 2002). در حال حاضر، مشخص شده است که شبکه CBL-CIPK، ارائه‌کننده سازوکاری متفاوت برای رمزگشایی Ca^{2+} است که در گیاهان به گونه‌ای منحصر به فرد عمل می‌کند. در این مسیر، هر CBL با زیرمجموعه‌ای از CIPKها برهم‌کنش دارد و به صورت متقابل، هر CIPK با یک یا تعداد بیشتری از CBLها برهم‌کنش نشان می‌دهد. این مسئله ممکن است شاهدی بر وجود عملکرد بسیار اختصاصی و گستردگی کنش این پروتئین‌ها باشد (Batistic and Kudla, 2004؛ Luan, 2009).

گزارش‌های متعدد، بر نقش CBLها در پاسخ به تنش‌های مختلف زیستی و غیرزیستی تأکید دارند (Albrecht *et al.*, 2003؛ Cheong *et al.*, 2003؛ Drerup *et al.*, 2013). بررسی‌های بیوشیمیایی نشان داده‌اند که میزان بیان CBL1 گیاه آراییدوپسیس و پیام‌رسانی متأثر از آن، در شرایط تنش‌های غیرزنده مانند زخم، سرما، خشکی و شوری شدید تغییر می‌کنند (Kudla *et al.*, 1999). جالب است که CBL9 این گیاه، با وجود شباهت زیاد از نظر توالی آمینواسیدی با CBL1 می‌تواند در پاره‌ای از جنبه‌های فیزیولوژی

مواد و روش‌ها

تهیه ماده گیاهی: ارقام Cal j و فلات Y گوجه‌فرنگی، پس از انجام یک بررسی مقدماتی و اعمال تیمارهای خشکی و براساس ارزیابی شاخص‌های رشد، بیوشیمیایی و فیزیولوژیک از میان ۱۴ کولتیوار رایج کشت شده در مناطق مختلف ایران، به ترتیب، رقم حساس و مقاوم انتخاب شدند (نتایج نشان داده نشده‌اند). بذرها پس از گندزدایی با محلول ۱/۵ درصد سدیم هیپوکلریت (NaOCl) و چند بار آب‌شویی با آب مقطر استریل، برای کشت به سینی‌های نشای حاوی پیت‌ماوس (شرکت Klasmann-Deilmann GmbH، آلمان) منتقل شدند. جوانه‌زنی بذرها و تهیه نشاء در اتاقک رشد با رطوبت نسبی حدود ۶۰ درصد و در دوره نوری ۱۶ ساعت روشنایی و ۸ ساعت تاریکی، شدت نور ۴۰۰۰ میکرومول فوتون بر متر مربع بر ثانیه و دمای بین 23 ± 2 درجه سانتی‌گراد انجام شد. نشاهای ۶ روزه (مرحله ۲ برگگی) با دقت به گلدان‌های ۸ سانتی‌متری حاوی پیت‌ماوس منتقل و به مدت ۴ روز به مقدار ظرفیت زراعی آبیاری شدند.

اعمال تنش‌های خشکی و ویروسی بر گیاهچه‌های گوجه‌فرنگی: برای اعمال تیمارهای خشکی، ویروس و تیمار ترکیبی خشکی و ویروس، گیاهچه‌های مرحله ۱۰ روزه به چهار گروه تقسیم شدند. گروه اول شامل گیاهچه‌های شاهد بودند که در ابتدا با بافر تلقیح بدون ویروس تزریق شده بودند و تا پایان دوره آزمایش به مقدار ۱۰۰ درصد ظرفیت زراعی و به صورت دو روز در میان با محلول یک‌دهم درصد هوگلند آبیاری شدند. این گروه برای نمونه شاهد هر دو تیمار خشکی و ویروس استفاده شدند.

گروه دوم شامل گیاهچه‌هایی بودند که تنها در تنش خشکی قرار گرفتند. ۲۳ روز پس از تلقیح بافر بدون ویروس، اعمال تنش خشکی آغاز شد. به این ترتیب، این گیاهچه‌ها ابتدا به مدت یک هفته با ۷۵ درصد ظرفیت زراعی و در هفته‌های بعدی به ترتیب با ۵۰ و ۲۵ درصد ظرفیت زراعی و به صورت دو روز در میان با محلول یک‌دهم درصد هوگلند آبیاری شدند.

گروه سوم شامل گیاهچه‌هایی بودند که تنها در تنش زیستی و ویروسی قرار گرفتند. بدین منظور، بافر تلقیح حاوی ویروس Tobacco Rattle Virus یا TRV که یک ویروس RNAی دوبخشی است، به گیاهچه‌های ۱۰ روزه تزریق شد؛ سپس آبیاری این گروه از گیاهچه‌ها تا پایان آزمایش به صورت دو روز در میان و با ۱۰۰ درصد ظرفیت زراعی با محلول یک‌دهم درصد هوگلند انجام شد.

گروه چهارم شامل گیاهچه‌هایی بودند که در تنش هم‌زمان خشکی و ویروس قرار گرفتند. ۲۳ روز پس از تلقیح بافر تلقیح حاوی ویروس، تنش خشکی مشابه گروه دوم بر آنها اعمال شد.

آماده‌کردن و تزریق بافر تلقیح ویروس: تهیه بافر تلقیح (Infiltration Buffer) با روش Velásquez و همکاران (۲۰۰۹) انجام شد. برای آلوده کردن برگ‌ها، بافر تلقیح حاوی باکتری ناقل پلاسמיד pTRV1 (Tobacco rattle virus) به نسبت یک به یک، با بافر تلقیح حاوی باکتری ناقل پلاسמיד pTRV2 مخلوط شد و با یک سرنگ استریل انسولین، در حجمی برابر، به هریک از برگ‌های لپه‌ای گیاهچه‌های ۱۰ روزه تزریق شدند. از بافر بدون ویروس به همین روش، برای تزریق به گروه‌های گیاهی شاهد و تنش خشکی استفاده شد.

نظر گرفته شد. حضور موتیف‌های EF-hand در توالی‌های یافت‌شده و در نهایت، تأیید پروتئین‌های CBL با ورود و تحلیل توالی‌ها در دو پایگاه SMART (prosite.expasy.org) و SMART (smart.embl.de) انجام شد. نام‌گذاری CBL‌های شناسایی شده با روش اورتوژنی، بر پایه میزان مشابهت با CBL‌های آراییدوپسیس و همولوژی‌های درون خانواده انجام و سپس مقایسه و هم‌ردیفی چندگانه توالی ژن‌های مختلف CBL، با روش Motif-based و با نرم‌افزار آنالین MAFIT (mafft.cbrc.jp) انجام شد. طراحی آغازگرهای اختصاصی برای هر یک از ژن‌های CBL، از روی توالی‌های شناسایی شده و با نرم‌افزار PrimerQuest (https://eu.idtdna.com) انجام شد. به دلیل شباهت بسیار زیاد بخش‌های رمزکننده پروتئین در CBL، آغازگرهای اختصاصی، بیشتر از نواحی غیرترجمه‌ای mRNA این ژن‌ها طراحی شدند. آغازگرهای طراحی شده، با نرم‌افزار OligoAnalyzer نسخه ۳/۱ به‌طور کیفی ارزیابی شدند (جدول ۱).

تنظیم کارایی تلقیح ویروس، با تزریق باکتری ناقل پلاسמיד pTRV2 دارای ژن فیتوئن دسآچوراز (Phytoene desaturase) انجام شد که خاموش شدن این ژن در گیاه و بروز فنوتیپ سفیدشدگی نوری را باعث شد و تنظیم مثبتی برای کارایی فرایند آلوده کردن با ویروس بود.

بررسی ژن‌ها و طراحی آغازگرها: جستجو برای شناسایی هم‌جورهای (Homologs) ژن‌های CBL در گیاه گوجه‌فرنگی، با ابزارهای BLASTt، BLASTp و BLASTn در پایگاه‌های داده‌ای پروتئینی و نوکلئوتیدی NCBI، Uniprot، EMBL-EBI، DDBJ، SolGenomics و از میان انواع داده‌های DNA، توالی‌های پروتئینی، کانتینگ‌ها، کروموزوم‌ها و CDSها انجام شد. در این جستجوها از CBL‌های پیش‌تر شناسایی شده آراییدوپسیس، در دسترس در پایگاه داده‌ای TAIR (www.Arabidopsis.org)، برای توالی ورودی (Query) به بلاست استفاده شد (Kleist et al., 2014). حد آستانه E-Value در بلاست برای خارج کردن توالی‌های CBL غیرهمولوگ، 10^{-4} در

جدول ۱- مشخصات آغازگرهای استفاده‌شده برای ژن‌های CBL گوجه‌فرنگی

نام CBL	توالی آغازگر رفت (Forward)	دمای اتصال	درصد GC	توالی آغازگر برگشت (Reverse)	دمای اتصال	درصد GC
SICBL1-1	GCAACGGAGTGATTGGATTG	۶۲	۴۷/۶	AGATAGATGAAGAAGAATGGAAG G	۶۲	۳۸/۵
SICBL1-2	GTCTTCTCTTCTTCTGCTCTC	۶۰/۸	۴۵/۵	AGATGAAATTGCTCGTCTTTA	۵۷/۱	۳۶/۴
SICBL1-3	TTTCAGTCTCCCTCAGC	۵۷/۲	۵۲/۹	AGATGCAAACCTTTCAAAGGG	۵۶/۳	۴۰
SICBL3-1	AGCTGCATATAGATAGGTTTCAG	۵۹/۲	۳۹/۱	ATCAAGATCGCAACACCTC	۵۸	۴۷/۴
SICBL3-2	CTCCTCTCTTCAGACAAATAGC	۶۰/۸	۴۵/۵	AGACAGAGAGGCACCTAAA	۵۸	۴۷/۴
SICBL4-1	GCTATATCTATGGCTTCTATAGTTG AC	۶۱/۷	۳۵/۷	CATCTAACAACTGCCACAATTA	۵۹/۲	۳۹/۱
SICBL4-2	GAATGGTATAGTGCTGCTGAAGA	۶۱	۴۳/۵	GGGAAAGCAGCCCATCAA	۵۹/۹	۵۵/۶
SICBL8-1	TCCATCCCTACAAACAAT	۵۳/۱	۳۸/۹	TAAGACTCTAACGCCAAA	۵۳/۱	۳۸/۹
SICBL8-2	CTGATATACCATAAACTGTAGTTCG	۵۹/۷	۳۶	CAGTTTGTGGCTCCGT	۵۷/۲	۵۲/۹
SICBL10	CTAGCCATAGCGAGGAAATATG	۶۰/۸	۴۵/۵	TTTAGTAGAAGAAGAGCTGTTGG	۵۹/۲	۳۹/۱
EF1 α	CCAAGAGCCATCAGACAAA	۵۵/۱	۵۰	GTAGAGACTGGCGTAATCAAGC	۵۵/۳	۵۰

اختصاصی انجام شد. مقادیر مساوی از محصولات PCR حاصل روی ژل آگارز ۱ درصد، الکتروفورز و با دستگاه ژل‌داک (مدل XR⁺، شرکت Bio-Rad، آمریکا) عکس‌برداری شدند. شدت باندهای حاصل با نرم‌افزار ImageJ نسخه 1.42q (http://rsb.info.nih.gov/ij/index.html) تعیین و با در نظر گرفتن شدت باندهای حاصل از ژن خانه‌دار EF1 α ، نرمال شد. در پایان، رسم همه نمودارها با نرم‌افزار GraphPad Prism Software نسخه ۶ انجام شد.

نتایج

شناسایی بیوانفورماتیک و نام‌گذاری اعضای خانواده CBL در گوجه‌فرنگی: شناسایی اعضای خانواده CBL گوجه‌فرنگی با روش‌های متداول بیوانفورماتیک انجام شد. در بررسی حاضر، نخست کوشش شد تا با تکیه بر اطلاعات موجود در چهار پایگاه اصلی بیوانفورماتیک جهانی (NCBI، Uniprot، EMBL-EBI و DDBJ) و نیز یک پایگاه اختصاصی خانواده Solanaceae موسوم به SolGenomics، در مدت انجام عملیات بلاست و با انتخاب ژن‌های ده‌گانه CBL‌های شناسایی شده آراییدوپسیس برای توالی ورودی (Kolukisaoglu *et al.*, 2004)، نسبت به شناسایی همه توالی‌های مرتبط اقدام شود. در جستجوی مقدماتی، ۵۱ توالی بررسی شدند و مرتبط، شناسایی شدند. توالی‌های پروتئینی با نرم‌افزار MAFFT (Algorithm G-INS-i) هم‌ردیف و به صورت چشمی برای حذف توالی‌های کوتاه و مشکوک ویرایش شدند تا شمار توالی‌های منحصربه‌فرد به ۱۷ گزینه کاهش یابد. در ادامه با

استخراج RNA و سنتز cDNA: برای استخراج RNA کل، برگ‌های گیاهان دوماهه برداشت و پس از تثبیت سریع در ازلت مایع، در فریزر نگهداری شدند. استخراج RNA کل از ۵۰ میلی‌گرم بافت فریزشده و با کیت استخراج (مدل HiYield™ Total RNA Mini Kit، شرکت Pant، شرکت RBC Bioscience، مالزی) HiYield™ Total RNA Mini Kit (Plant) شرکت RBC Bioscience انجام و کیفیت و کمیتهای استخراجی با الکتروفورز ژل آگارز و اسپکتروفتومتر ارزیابی شد. قبل از سنتز cDNA و برای حذف DNA ژنومی، RNA استخراج شده با آنزیم DNase تیمار شد. سنتز cDNA با ۱ میکروگرم از RNA کل، آغازگر Random hexamer و آنزیم ترانس کریپتاز معکوس (Thermo Scientific Revert Aid Reverse) انجام شد. در ادامه، مقادیر مساوی cDNA برای انجام واکنش PCR نیمه کمی استفاده شدند.

واکنش زنجیره‌ای پلیمرز نیمه کمی: در پژوهش حاضر، برای بررسی میزان بیان ژن‌های CBL از روش PCR نیمه کمی استفاده شد. از یک جفت آغازگر اختصاصی ژن خانه‌دار EF1 α گوجه‌فرنگی برای تنظیم داخلی و نرمال کردن نتایج حاصل از PCR استفاده شد. توالی این جفت آغازگر با توالی سایر جفت پرایمرهای طراحی شده برای ژن‌های CBL در جدول (۱) نشان داده شده است. تعیین چرخه بهینه مرحله تصاعدی، شرایط PCR و مقدار cDNA لازم، با نمونه cDNA حاصل از گیاه شاهد انجام شد. در ادامه، واکنش‌های زنجیره‌ای پلیمرز برای هر یک از CBL‌ها با مقادیر هم‌غلظت cDNA حاصل از گیاهان هر تیمار در دو رقم گیاه حساس و مقاوم گوجه و در سه تکرار با شرایط

CBL شناخته شده در گوجه‌فرنگی، از یک روش نام‌گذاری مبتنی بر ارتوژنی استفاده شد. در این روش، توالی‌های نوکلئوتیدی و پروتئینی CBL گیاه آراییدوپسیس، ژن‌های ورودی ارتولوگ در نظر گرفته شدند. CBL‌های پارالوگ، با اختصاص شماره‌های متفاوت از هم جدا شدند و توالی‌های CBL ارتولوگ نیز با قید شماره‌ای پس از خط فاصله، از هم متمایز شدند (Mohanta *et al.*, 2015). در جدول (۲)، شناسه‌های متفاوتی که با روش‌های مختلف نام‌گذاری در پایگاه‌های داده برای CBL‌ها تعیین شده‌اند، با هم مقایسه شده‌اند. مقایسه طول توالی‌های پروتئینی CBL‌های گوجه‌فرنگی با جایگاه استقرار موتیف EF-hand آنها در شکل (۱) نشان داده شده است.

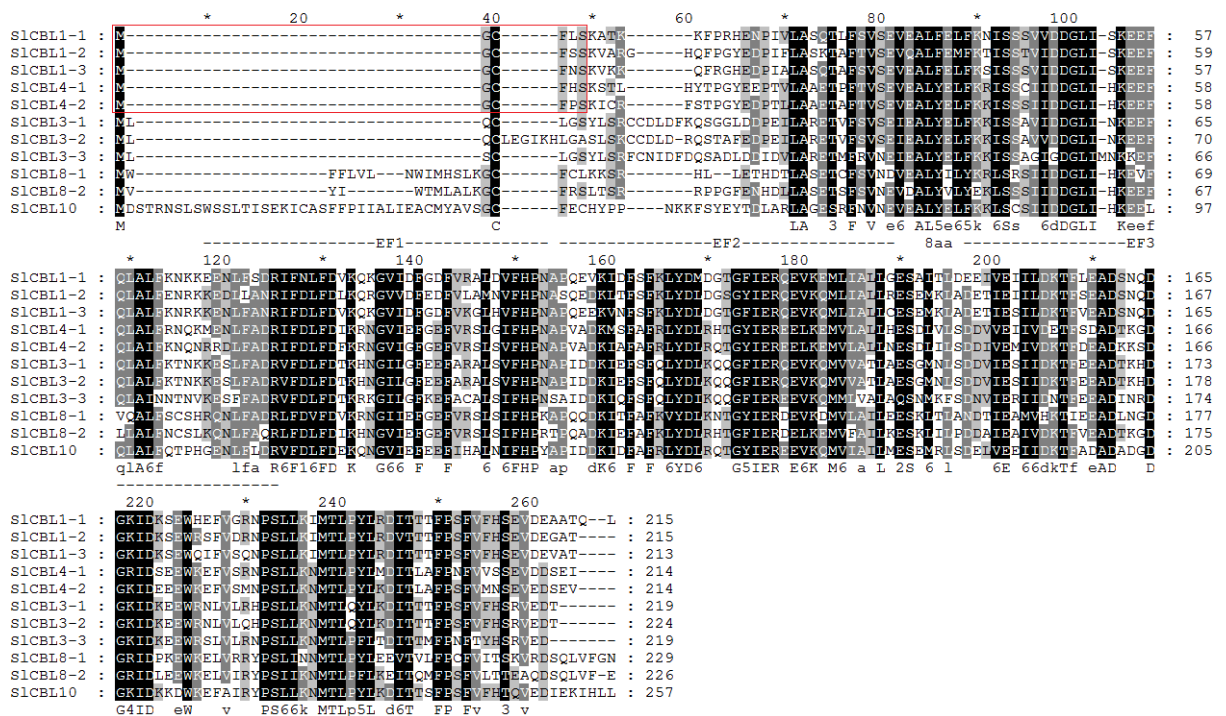
جستجوی توالی‌ها روی کروموزوم‌های متناظر، نسبت به حذف توالی‌های ژنی تکراری اقدام شد و بدین ترتیب، تعداد توالی‌های مرتبط با CBL که جایگاه انحصاری روی کروموزوم‌های گوجه داشتند به ۱۲ گزینه کاهش یافت. بین این توالی‌ها، توالی با شناسه Solyc08g054570 مندرج در پایگاه داده SolGenomics، پس از بررسی تعداد موتیف‌های حفاظت‌شده EF-hand در توالی، حذف شد و تنها توالی‌ها با حداقل سه ساختار EF-hand پذیرفته شدند. در نهایت، ۱۱ توالی منحصر به فرد شناسایی شدند (جدول ۲) که طول آنها حدود ۲۱۳ تا ۲۵۷ آمینواسید بود. این طول تقریباً با طول سایر پروتئین‌های CBL شناسایی شده در دیگر گروه‌های گیاهی، منطبق بود (Zhang *et al.*, 2008). برای نام‌گذاری پروتئین‌های

جدول ۲- نام‌گذاری متفاوت توالی‌های CBL شناسایی شده در ژنوم گوجه‌فرنگی در پایگاه‌های داده مختلف - برای معرفی بهتر، رمز شناسه توالی‌ها در SolGenomics و Uniprot آورده شده است. حروف a, b, c, d و e در بالای هر نام به معنی به‌کارگیری آن به ترتیب در پایگاه‌های SolGenomics, NCBI, EBI, Uniprot و DDBJ هستند.

شماره	نام CBL	نام توالی در پایگاه‌های داده‌ای مختلف	تعداد EF-hand	شناسه توالی در SolGene	شناسه توالی در PROSITE
۱	SICBL1-1	CBL 1 ^{a, d}	۳	Solyc06g060980	K4C6S8
۲	SICBL1-2	CBL 1 ^a	۳	Solyc08g007160	K4CIK3
۳	SICBL1-3	CBL 1 ^a	۳	Solyc08g077770	G5EM33
۴	SICBL3-1	CBL 2 ^{a, b, c, d}	۳	Solyc07g065820	G5EM34
۵	SICBL3-2	CBL 1 ^a	۳	Solyc12g015870	M1CX58
۶	SICBL3-3	CBL 3 ^a	۳	Solyc02g032310	K4B5H7
۷	SICBL4-1	CBL 4 ^a	۳	Solyc06g051970	K4C5Y3
۸	SICBL4-2	SISOS3 ^b , CBL 4 ^c , SICBL4-2 ^e	۳	Solyc03g083320	Q4W3B4
۹	SICBL8-1	CBL 7 ^a	۳	Solyc08g036590	K4CK19
۱۰	SICBL8-2	CBL 4 ^{a, e}	۳	Solyc12g055920	K4DFS3
۱۱	SICBL10	--	۳	Solyc08g065330	G4XMX1

بررسی‌های دقیق‌تر این توالی‌ها مشخص کرد که در بخش N-ترمینال همهٔ اعضای CBL های ۱ و ۴ که شامل ۵ پروتئین می‌شوند، یک ناحیهٔ حفاظت‌شده (MGXXXS/T) وجود دارد که جایگاه اتصال پروتئین به غشاء است (Luan et al., 2002).

بررسی‌های دقیق‌تر این توالی‌ها مشخص کرد که در بخش N-ترمینال همهٔ اعضای CBL های ۱ و ۴ که شامل ۵ پروتئین می‌شوند، یک ناحیهٔ حفاظت‌شده (MGXXXS/T) وجود دارد که جایگاه



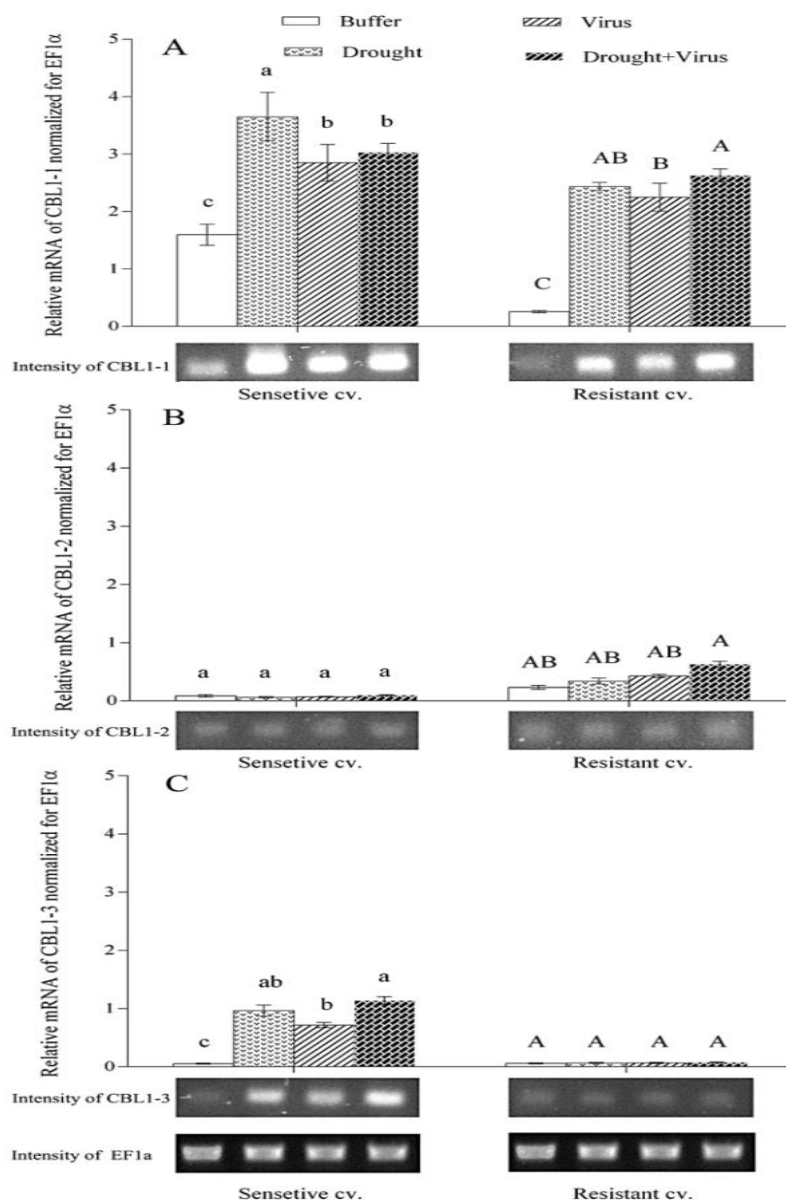
شکل ۱- مقایسه و هم‌ردیفی چندگانهٔ توالی آمینواسیدی CBL های گوجه‌فرنگی - بخش‌های با همولوژی یا شباهت زیاد بین اعضای مختلف CBL با رنگ زمینهٔ تیره‌تر و بخش‌های با شباهت کمتر با زمینهٔ روشن‌تر نشان داده شده‌اند. حدود نواحی حفاظت‌شدهٔ EF-hand های سه‌گانه (EF1-EF3)، به صورت نقطه‌چین بالای هر ناحیه و جایگاه حفاظت‌شدهٔ مرستویلاسیون CBL های گروه ۱ و ۴، در کادر قرمز رنگ مشخص شده است.

این ژن‌ها در ارقام حساس و مقاوم به خشکی گوجه‌فرنگی بود (شکل ۲). دربارهٔ SICBL1-1، نشان داده شد که افزایش معنی‌داری در بیان این ژن در هردو تنش خشکی و حملهٔ ویروس و نیز هنگام القای هم‌زمان این دو تنش، در هردو رقم حساس و مقاوم نسبت به گیاهان شاهد به وجود آمده است؛ البته در رقم حساس، نسبت به رقم مقاوم، تنش خشکی اثر القایی بیشتری بر افزایش بیان این ژن داشته است (شکل ۲-A). بررسی‌ها

بررسی بیان نیمه‌کمی ژن‌های کلاس‌های مختلف CBL در گیاه گوجه‌فرنگی: نخستین کلاس شناسایی‌شدهٔ CBL در گوجه‌فرنگی، SICBL1 بود که شامل سه عضو SICBL1-1، SICBL1-2 و SICBL1-3 است. این ژن‌ها، بیان‌های نیمه‌کمی متفاوتی در تیمارهای تنش خشکی، ویروسی و در جریان تنش هم‌زمان خشکی و ویروس از خود نشان دادند. همچنین نتایج بیان‌کنندهٔ وجود تفاوت معنی‌دار در کمیت بیان

همچنین نشان داد که بیان ژن SICBL1-3 در هر دو تنش خشکی و حمله ویروس و بالطبع در ترکیب این دو تنش، تنها در رقم حساس نسبت به شاهد افزایش داشته است (شکل ۲- C).

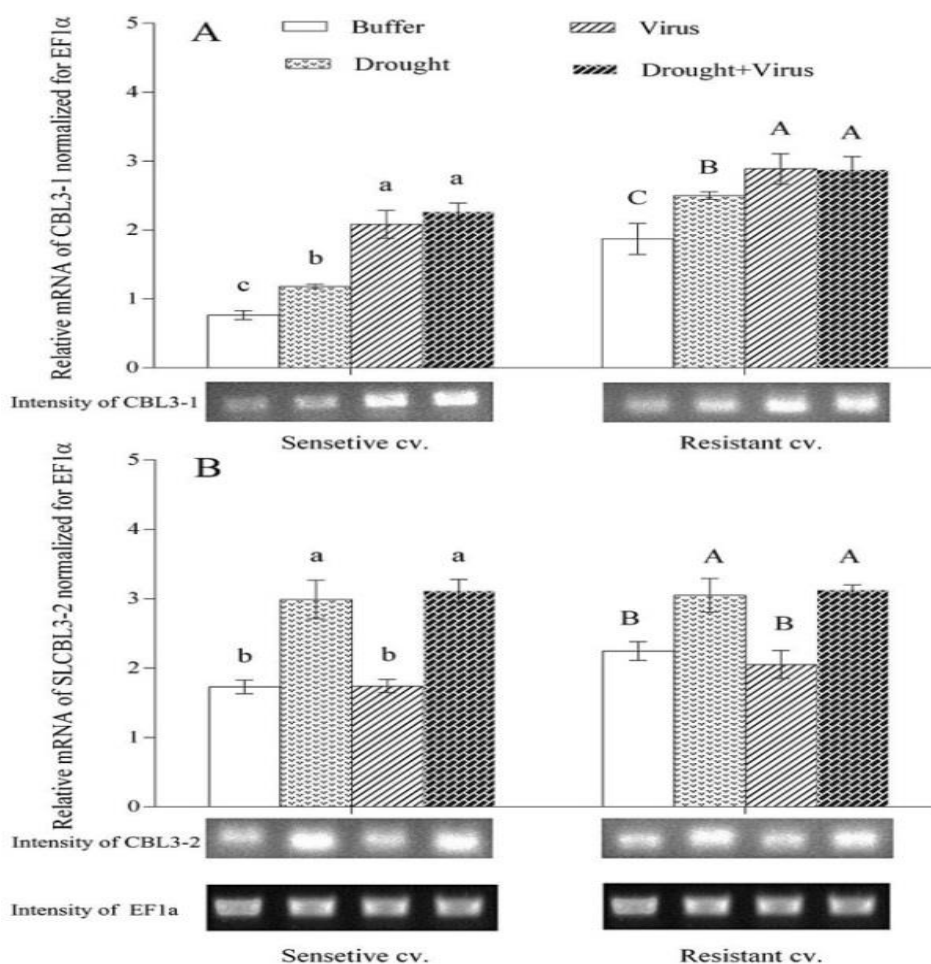
نشان داد که تفاوت معنی‌داری در بیان ژن SICBL1-2 در هنگام تنش‌های خشکی، ویروس و تنش هم‌زمان آنها در هر دو رقم حساس و مقاوم به خشکی نسبت به تیمارهای شاهد وجود نداشته است (شکل ۲- B).



شکل ۲- نمودار بیان نسبی ژن‌های کلاس SICBL1 در گوجه‌فرنگی در تنش‌های خشکی، حمله ویروسی و ترکیب تنش خشکی و ویروس و مقایسه آن با شاهد (بافر): A (بیان نسبی ژن SICBL1-1)، B (بیان نسبی ژن SICBL1-2) و C (بیان نسبی ژن SICBL1-3) - شدت باند متناسب با هر نمونه در زیر آن نمایش داده شده است. شدت باند ژن EF1 α (ژن خانه‌دار) و تنظیم درونی برای نرمال کردن بیان ژن‌های CBL نشان داده شده‌اند. مقادیر، میانگین سه تکرار \pm SD است. حروف غیرمشترک، نشان‌دهنده وجود تفاوت معنی‌دار با آزمون دانکن است.

رقم حساس و مقاوم، به‌طور معنی‌داری افزایش یافت (شکل‌های ۳-A و B). همچنین، اعمال تنش ویروسی به‌تنهایی بیان ژن SICBL3-1 را در هر دو رقم افزایش داد؛ ولی تغییری در بیان ژن SICBL3-2 در هیچ‌یک از ارقام حساس و مقاوم گوجه‌فرنگی ایجاد نکرد. در مجموع اعمال هم‌زمان دو تنش (خشکی + ویروس)، تأثیر اضافه‌ای روی بیان ژن‌های این کلاس از CBLها نداشته است.

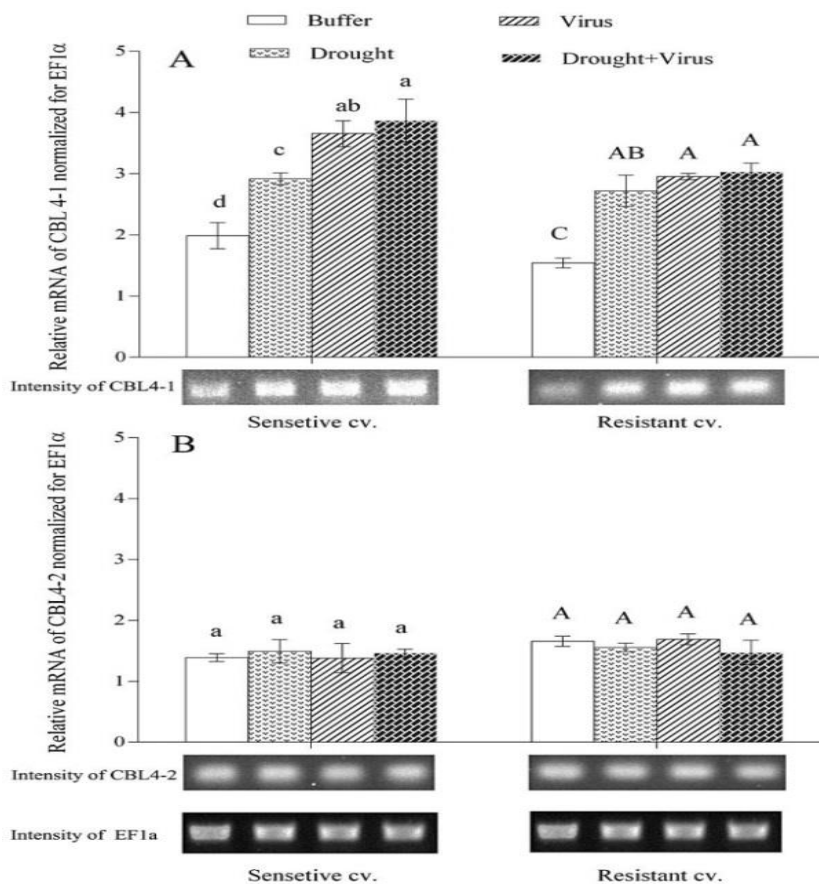
در پژوهش حاضر، به‌دلیل شباهت بسیار زیاد توالی رمزکننده SICBL3-3 با نواحی مشابه آن در سایر CBLها و نبود نواحی غیرترجمه‌ای در این ژن، به‌ساخت آغازگر اختصاصی برای آن موفق نشدیم؛ بنابراین تنها دو عضو از کلاس SICBL3، شامل SICBL3-1 و SICBL3-2 جدا شدند و بیان نیمه‌کمی آنها بررسی شد. براساس نتایج، شدت باند هر دو ژن SICBL3-1 و SICBL3-2 در تنش خشکی در هر دو



شکل ۳- نمودار بیان نسبی ژن‌های کلاس SICBL3 در گوجه‌فرنگی در تنش‌های خشکی، حمله ویروسی و ترکیب خشکی و ویروس و مقایسه آن با شاهد (بافر): A (بیان نسبی ژن SICBL3-1) و B (بیان نسبی ژن SICBL3-2) - شدت باند متناسب با هر نمونه در زیر آن نمایش داده شده است. شدت باند ژن EF1α (ژن خانه‌دار) و تنظیم درونی برای نرمال کردن بیان ژن‌های CBL نشان داده شده‌اند. مقادیر، میانگین سه تکرار \pm SD است. حروف غیرمشترک، نشان‌دهنده وجود تفاوت معنی‌دار با آزمون دانکن است.

تنش افزایش یافته است (شکل ۴-۱)؛ البته در حالت ترکیب این دو تنش، اثر اضافی بر بیان این ژن ملاحظه نشد. مقایسه میانگین داده‌های حاصل از شدت باندها نشان می‌دهد که در رقم حساس، حمله ویروس بیش از تنش خشکی در افزایش بیان ژن SICBL4-1 مؤثر بوده است. این رفتار در رقم مقاوم گیاه گوجه‌فرنگی مشاهده نشد.

براساس نتایج پژوهش حاضر، رفتار بیانی ژن‌های کلاس SICBL4 به گونه‌ای از یکدیگر متفاوت بوده است؛ درحالی که هیچ‌یک از تنش‌های خشکی، حمله ویروسی و ترکیب این دو تنش، بر بیان ژن SICBL4-2 در رقم حساس یا مقاوم گوجه تأثیر نداشته است (شکل ۴-۲). شدت باندهای مربوط به ژن SICBL4-1 در هر دو



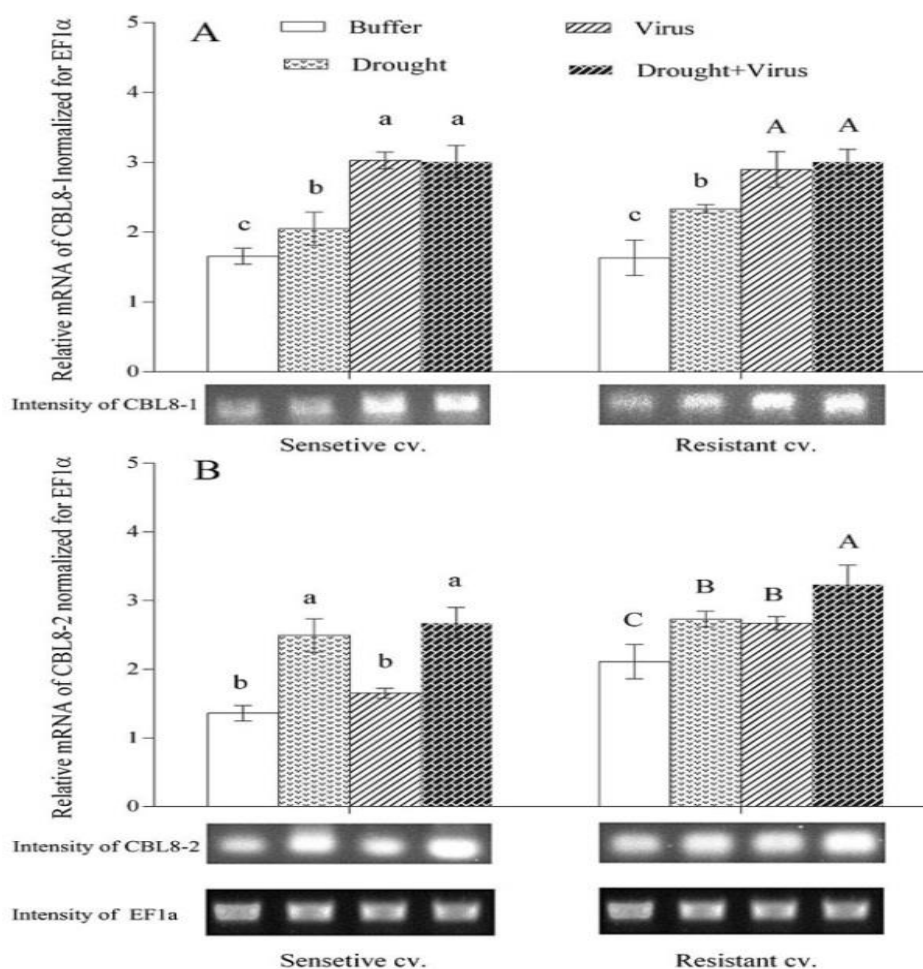
شکل ۴- نمودار بیان نسبی ژن‌های کلاس SICBL4 در گوجه‌فرنگی در تنش‌های خشکی، حمله ویروسی و ترکیب خشکی و ویروس و مقایسه آن با شاهد (بافر): A (بیان نسبی ژن SICBL4-1) و B (بیان نسبی ژن SICBL4-2) - شدت باند متناسب با هر نمونه در زیر آن نمایش داده شده است. شدت باند ژن EF1α (ژن خانه‌دار) و تنظیم درونی برای نرمال کردن بیان ژن‌های CBL نشان داده شده‌اند. مقادیر، میانگین سه تکرار \pm SD است. حروف غیرمشترک، نشان‌دهنده وجود تفاوت معنی‌دار با آزمون دانکن است.

(شکل‌های ۵-۱ و ۵-۲). در هر دو رقم حساس و مقاوم، تنش خشکی القای بیان بیشتر هر دو ژن SICBL8-1 و SICBL8-2 را باعث شد. همچنین در رقم مقاوم، بیان

نتایج نشان دادند که ژن‌های مربوط به کلاس SICBL8 نیز رفتار بیانی متمایز و متنوعی در شرایط تنش مختلف و ارقام متفاوت از خود نشان دادند

افزایش یافت؛ ولی در رقم حساس، تنها بیان SICBL8-1 و نه SICBL8-2 نسبت به شاهد، بیشتر و چشمگیر بود.

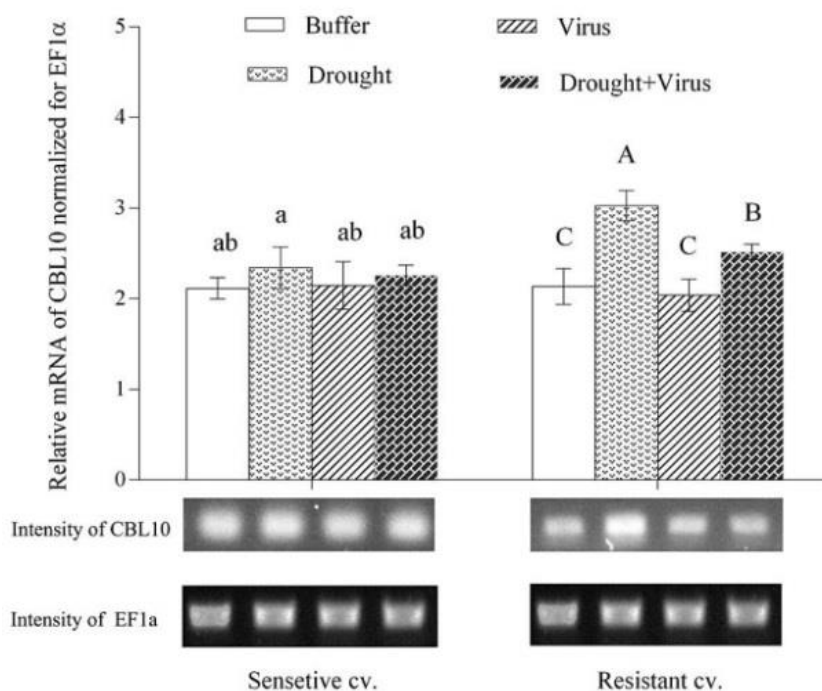
ژن‌های SICBL8-1 و SICBL8-2 هنگام آلوده‌شدن گیاه با ویروس، به‌طور معنی‌داری نسبت به شاهد



شکل ۵- نمودار بیان نسبی ژن‌های کلاس SICBL8 در گوجه‌فرنگی در تنش‌های خشکی، حمله ویروسی و ترکیب خشکی و ویروس و مقایسه آن با شاهد (بافر): A (بیان نسبی ژن SICBL8-1) و B (بیان نسبی ژن SICBL8-2) - شدت باند متناسب با هر نمونه در زیر آن نمایش داده شده است. شدت باند ژن EF1 α (ژن خانه‌دار) و تنظیم درونی برای نرمال کردن بیان ژن‌های CBL نشان داده شده‌اند. مقادیر میانگین سه تکرار \pm SD است. حروف غیرمشترک، نشان‌دهنده وجود تفاوت معنی‌دار با آزمون دانکن است.

برابر است (شکل ۶). همچنین درباره رقم مقاوم دیده شد که تنها تنش خشکی و نه حمله ویروس (و حتی اثر ترکیبی این دو) افزایش بیان این ژن را نسبت به شاهد باعث شده است.

نتایج همچنین نشان دادند که هیچ کدام از تنش‌های خشکی، حمله ویروسی و ترکیب این دو، بر بیان تنها ژن CBL موجود در کلاس SICBL10 در رقم حساس موثر نبوده است و تقریباً با بیان ژن شاهد



شکل ۶- نمودار بیان نسبی ژن‌های کلاس SICBL10 در گوجه‌فرنگی در تنش‌های خشکی، حمله ویروسی و ترکیب خشکی و ویروس و مقایسه آن با شاهد (بافر)- شدت باند متناسب با هر نمونه در زیر آن نمایش داده شده است. شدت باند ژن EF1α (ژن خانه‌دار) و تنظیم درونی برای نرمال کردن بیان ژن‌های CBL نشان داده شده‌اند. مقادیر، میانگین سه تکرار \pm SD است. حروف غیرمشترک، نشان‌دهنده وجود تفاوت معنی‌دار با آزمون دانکن است.

حد اقل ۱۰ یا ۱۱ عضو در خانواده CBL در گوجه‌فرنگی اشاره کردند (Mohanta et al., Kleist et al., 2014). در بررسی حاضر، کوشش بر این بود تا با پایگاه‌های داده‌ای به‌روزشده ژنومی، در صورت امکان، اعضای جدید CBL در این خانواده شناسایی شوند و پس از حذف توالی‌های غیرمطمئن و تکراری، حضور ۱۱ عضو نهایی برای این خانواده در گوجه‌فرنگی تأیید شد؛ بنابراین براساس داده‌های به‌روزشده ژنومی از سال ۲۰۱۵ تاکنون، امکان افزایش تعداد اعضای این خانواده پروتئینی وجود نداشت. در پژوهش حاضر، بر وجود ۳ ناحیه EF-hand که معیاری برای گزینش پروتئین‌های CBL هستند بسیار تأکید شد و دلیل آن، اهمیت عملکرد

بحث

درج نام و شناسه‌های متفاوت اختصاصی برای توالی‌ها، به‌ویژه توالی‌های CBL در هر پایگاه داده و نبود روشی واحد برای نام‌گذاری با امکان طبقه‌بندی اعضای خانواده ژنی، موجب شده است، نام‌های متعدد و گیج‌کننده‌ای برای هر توالی انحصاری CBL وجود داشته باشد. این مسئله به بررسی مقدماتی در پژوهش حاضر، و دستیابی به حدود ۵۱ توالی هم‌پوشان منجر شد که در منابع مختلف با نام‌های متفاوتی برای CBL‌ها تعیین شده بودند؛ بنابراین برای دسته‌بندی و یکسان کردن بسیاری از این توالی‌های تکراری، از رویکرد بیوانفورماتیک استفاده شد. گزارش‌های قبلی به حضور

ایفا کنند. در این راستا، بررسی بیان برخی از اعضای خانواده CBL در آراییدوپسیس نشان داده است که بیان این ژن‌ها در بافت‌های مختلف یک گیاه، حتی در شرایط مساعد رشدی، متفاوت است (Kudla *et al.*, 1999).

در بررسی حاضر، اعضای مختلف SlCBL1 رفتارهای کاملاً متمایزی در تنش‌های خشکی و ویروس و در ارقام مختلف حساس و مقاوم گوجه‌فرنگی از خود نشان دادند. رفتاری که بیش از هر چیز بر اختصاصی بودن و بی‌مانندی شیوه‌های عملکردی این ژن‌ها تأکید دارند. پیش‌تر Kudla و همکاران در سال ۱۹۹۹، با بررسی الگوی بیان ایزوفرم‌های ۱، ۲ و ۳ ژن‌های CBL آراییدوپسیس در تنش‌های خشکی، زخم، سرما، شوک گرمایی و لمس مکانیکی، نشان دادند که تیمارهای زخم، خشکی و سرما تا حد زیادی سطح mRNA ژن AtCBL1 را افزایش می‌دهند. در مقابل، تنش‌های شوک گرمایی و لمس مکانیکی اثری بر بیان این ژن نداشته است. همچنین Albrecht و همکاران (۲۰۰۳)، با ایجاد جهش‌یافته‌های *cbll* و اعمال تنش روی آن‌ها، بر نقش CBL1 در تنش‌های خشکی، شوری و سرما تأکید کردند. در برنج، تیمار با پلی‌اتیلن گلیکول (PEG) که عامل ایجادکننده تنش خشکی است، بیان CBL1 را القا کرده است (Gu *et al.*, 2008). Cheong و همکاران (۲۰۰۳) با مشاهده افزایش مقاومت به یخ‌زدگی در جهش‌یافته‌های *cbll* به این نتیجه رسیدند که شاید CBL1 یک تنظیم‌کننده مثبت در تنش‌های شوری و خشکی و یک تنظیم‌کننده منفی برای سرما در گیاهان است. همچنین پیشنهاد شده است که CBL1 از مسیرهای غیروابسته به ABA و

هم‌زمان این موتیف‌ها برای انجام درست برهم‌کنش CBL‌ها با CIPK‌های شناخته‌شده در گوجه‌فرنگی بود (Kim *et al.*, 2000)؛ همان‌طور که اشاره شد، در نام‌گذاری اعضای خانواده CBL گوجه‌فرنگی، یک روش نام‌گذاری مبتنی بر اورتوژنی به کار گرفته شد که پیش‌تر تعدادی از پژوهشگران برای نام‌گذاری برخی خانواده‌های ژنی استفاده کرده بودند (Hamel *et al.*, 2006؛ Mohanta and Mohanta, 2013؛ Mohanta *et al.*, 2014). در روش مبتنی بر اورتوژنی به کاررفته در پژوهش حاضر، اساس کار بر این اصل استوار بود که شباهت توالی به شباهت ساختاری و متعاقب آن به شباهت عملکردی ژن‌ها منجر می‌شود (Aravind *et al.*, 2002؛ Schlicker *et al.*, 2006). در این روش، اطلاعات عملکردی یک پروتئین را که به صورت تجربی حاصل شده‌اند، به یک پروتئین ناشناخته مشابه تعمیم می‌دهند. چنین روشی پیش‌تر نیز توسط Mohanta و همکاران در سال ۲۰۱۵ برای نام‌گذاری CBL‌های گوجه‌فرنگی و ۳۷ گونه گیاهی دیگر به کار گرفته شد. آنها در نهایت، ۵ نوع یا کلاس CBL (۱، ۳، ۴، ۸ و ۱۰) که در مجموع، ۱۱ پروتئین را شامل می‌شدند، در این خانواده شناسایی و معرفی کردند. نتیجه‌ای که با پژوهش حاضر، دوباره تأیید شد و بدون تغییر باقی ماند.

الگوی بیان یک ژن در بافتی ویژه و در پاسخ به محرک‌های محیطی موجود، به صورت بالقوه، منعکس‌کننده نقش آن ژن در فرایندهای تکوینی، فیزیولوژیک و شاید پیام‌رسانی‌های مرتبط با آن بافت است. بررسی‌ها نشان داده‌اند که اعضای یک خانواده ژنی می‌توانند به طور متفاوت از یکدیگر بیان شوند و از این رو عملکردها و نقش‌های متمایزی نسبت به هم

در مسیر برون‌شارش Na^+ ، هموستازی و ایجاد مقاومت به تنش نمک از قبل مطرح بوده است (Zhu, 2002). تغییر بیان CBL4 هنگام اعمال تنش‌های خشکی، سرما و شوری در گیاهچه‌های صنوبر، در پژوهش‌های Zhang و همکاران (۲۰۰۸) به اثبات رسیده است. D'angelo و همکاران (۲۰۰۶) نیز معتقدند که این CBL به صورت جایگزین با CBL1 در برهم‌کنش با CIPK24 در مسیر پیام‌رسانی تنش شوری عمل می‌کند. یافته‌ها در ذرت نشان داده است که شوری در برگ‌ها به صورت کاهش و در ریشه به صورت افزایشی بر بیان SICBL4 اثرگذار بوده است؛ چنان‌که تیمار با ABA، افزایش و پلی‌اتیلن‌گلایکول، کاهش بیان این ژن را در ذرت باعث شده است (Wang et al., 2007).

بررسی کیفیت بیان CBL8 در دانه‌رست‌های برنج در تیمار با پلی‌اتیلن‌گلایکول، کاهش میزان بیان این ژن را نشان می‌دهد؛ در حالی که سرما و تیمار ABA، فزونی بیان این ژن را باعث شده‌اند (Gu et al., 2008). این الگو به هیچ‌وجه با داده‌های حاصل از پژوهش حاضر مبنی بر افزایش بیان ژن‌های SICBL8-1 و SICBL8-2 در هردو رقم حساس و مقاوم در تنش خشکی منطبق نیست.

در بررسی حاضر، تنش خشکی افزایش بیان CBL10 را در رقم مقاوم باعث شد. این تغییر الگوی بیان CBL10 در تنش‌های غیرزنده دیگر مانند اسمز، شوری و سرما در گیاه صنوبر نیز مشاهده شده است (Zhang et al., 2008). همچنین جهش‌یافته‌های *cbll10*، فوتوپ‌های کلروزشده بدون رشد را هنگام مواجه شدن با تنش نمکی از خود نشان داده‌اند (Zhang et al., 2008). در برنج نیز تیمار با پلی‌اتیلن‌گلایکول، افزایش بیان ژن CBL10 را در دانه‌رست‌های در شرایط

CBL9 که شبیه‌ترین عضو به آن است، از مسیرهای وابسته به ABA و به صورت جایگزین، به تنش‌ها پاسخ می‌دهد (D'angelo et al., 2006). هردوی این CBLها در همراهی با CIPK23 در جذب پتاسیم و باز و بسته شدن روزنه‌ها هم نقش داشته‌اند (Mao et al., 2016). در کل، نتایج به دست آمده نشان از اهمیت بیشتر دو ژن SICBL1-1 و SICBL1-3 در هردو تیمار خشکی و حمله ویروسی در گوجه‌فرنگی دارند.

بر اساس نتایج حاصل از پژوهش حاضر، بیان هردو عضو بررسی شده SICBL3، در ارقام حساس و مقاوم، در تنش خشکی القا شد. نتیجه‌ای که با برخی گزارش‌های قبلی نیز تأیید شده است (Mahajan et al., 2006). همچنین افزایش بیان این ژن هنگام اعمال تنش زخم، به مدت ۳ ساعت و تیمار با سالسیلیک اسید که یک حدواسط پاسخ به تنش‌های زیستی است، پس از ۸ ساعت گزارش شده است (Mahajan et al., 2006)؛ بنابراین، به نظر می‌رسد که خانواده پروتئینی CBL3 در پاسخ گیاه به هردو تنش زنده و غیرزنده حائز اهمیت باشد. در تأیید این مطلب، CBL3 یک تنظیم‌کننده هموستازی درون‌سلولی یون‌ها در تونوپلاست، با برهم‌کنش با H^+ -ATPase و اکوتلی یاد شده است (Tang et al., 2012). همچنین گزارش شده است که CBL3 در جدا کردن و حجره‌بندی Mg^{2+} در واکوئل و سم‌زدایی از این عنصر نقش دارد (Tang et al., 2015).

در این تحقیق از دو همولوگ SICBL4، تنها بیان SICBL4-1 در هر دو تنش خشکی و ویروس افزایش یافت. این CBL که با نام SOS3 نیز شناخته می‌شود، نخستین عضو از خانواده CBLها در گیاهان است که

زیادی دارد (Zhang *et al.*, 2008). در مجموع، به نظر می‌رسد که الگوهای متنوع بیان ژن‌های CBL به‌نوعی در هماهنگی با نیاز گیاه عمل می‌کنند (Batistic and Kudla, 2004). در پژوهش حاضر، با بررسی کلی بیان ژن‌های مختلف CBL گوجه‌فرنگی در تنش‌های زیستی (ویروس) و غیرزیستی (خشکی) که با ارائه الگوهای بیانی اختصاصی و هم‌پوشان همراه است، وجود شبکه‌ای پویا و توانمند در پاسخ به نیازهای ناشی از تغییرات محیطی در گیاه استنباط می‌شود. پژوهش‌های بیشتری در زمینه پاسخ CBL‌های گیاهی در کنار سایر عوامل مولکولی از جمله CIPK، عوامل رونویسی و همچنین ژن‌های متأثر از این مسیر در تنش‌های مختلف باید انجام شوند تا درک بهتری از نقش این ژن‌ها در فرایندهای پیام‌رسانی، متابولیک و فیزیولوژی گیاهان حاصل شود.

سپاسگزاری

از دانشگاه پیام نور و مرکز تحصیلات تکمیلی دانشگاه کاشان بابت حمایت از اجرای این پژوهش سپاسگزاری می‌شود.

تنش باعث شده است (Gu *et al.*, 2008). این مدارک، دلیل مستقیمی بر نقش احتمالی این ژن در پاسخ به تنش خشکی است. بیان‌نشدن ژن CBL10 در مواجهه با حمله ویروس، شاید نشان‌دهنده دخالت‌نداشتن این ژن در مسیر پاسخ به تنش‌های ویروسی است.

مشاهده رفتارهای پیچیده و متناقض و وجود ایزوفرم‌های چندگانه CBL در گیاهان و از جمله گوجه‌فرنگی، تا حد زیادی بر پیچیدگی‌های درک چگونگی عملکرد این ژن‌ها افزوده است (Kudla *et al.*, 1999). نتایج حاصل از تحقیق حاضر، به وضوح نشان دادند که مسیرهای سیگنالی CBL/CIPK در گوجه‌فرنگی در پاسخ به هر دو نوع تنش زیستی و غیرزیستی، رخ می‌دهد. بجز آرابیدوپسیس، برنج و چند گیاه محدود دیگر، مسیرها و پاسخ‌های شبکه CBL/CIPK به تنش در گیاهان عالی چندان بررسی نشده‌اند. شناسایی اعضای این خانواده ژنی در سایر گیاهان مدل و بررسی مقایسه‌ای ویژگی‌ها، رفتارها و پاسخ‌های صادره در شرایط مختلف زیستی، برای درک بیشتر چگونگی عملکرد شبکه پیام‌رسانی کلسیم اهمیت

منابع

- Albrecht, V., Weinkl, S., Blazevic, D., D'Angelo, C., Batistic, O., Kolukisaoglu, Ü. and Kudla, J. (2003) The calcium sensor CBL1 integrates plant responses to abiotic stresses. *The Plant Journal* 36(4): 457-470.
- Aravind, L., Mazumder, R., Vasudevan, S. and Koonin, E. V. (2002) Trends in protein evolution inferred from sequence and structure analysis. *Current Opinion in Structural Biology* 12(3): 392-399.
- Batistic, O., Kim, K. N., Kleist, T., Kudla, J. and Luan, S. (2011) The CBL-CIPK network for decoding calcium signals in plants. In: *Coding and decoding of calcium signals in plants* (Ed. Luan, S.) 235-258. Springer Verlag, Berlin.
- Batistic, O. and Kudla, J. (2004) Integration and channeling of calcium signaling through the CBL calcium sensor/CIPK protein kinase network. *Planta* 219(6): 915-924.
- Batistic, O. and Kudla, J. (2009) Plant calcineurin B-like proteins and their interacting protein kinases. *Biochimica et Biophysica Acta (BBA) - Molecular Cell Research* 1793(6): 985-992.
- Cheong, Y. H., Kim, K. N., Pandey, G. K., Gupta, R., Grant, J. J. and Luan, S. (2003) CBL1, a calcium sensor that differentially regulates salt, drought, and cold responses in *Arabidopsis*. *The Plant Cell* 15(8): 1833-1845.

- D'angelo, C., Weinl, S., Batistic, O., Pandey, G. K., Cheong, Y. H., Schültke, S. and Harter, K. (2006) Alternative complex formation of the Ca^{2+} regulated protein kinase CIPK1 controls abscisic acid dependent and independent stress responses in *Arabidopsis*. *The Plant Journal* 48(6): 857-872.
- Drerup, M. M., Schlücking, K., Hashimoto, K., Manishankar, P., Steinhorst, L., Kuchitsu, K. and Kudla, J. (2013) The calcineurin B-like calcium sensors CBL1 and CBL9 together with their interacting protein kinase CIPK26 regulate the *Arabidopsis* NADPH oxidase RBOHF. *Molecular Plant* 6(2): 559-569.
- Gu, Z., Ma, B., Jiang, Y., Chen, Z., Su, X. and Zhang, H. (2008) Expression analysis of the calcineurin B-like gene family in rice (*Oryza sativa* L.) under environmental stresses. *Gene* 415(1): 1-12.
- Hamel, L. P., Nicole, M. C., Sritubtim, S., Morency, M. J., Ellis, M., Ehling, J. and Lee, J. (2006) Ancient signals: comparative genomics of plant MAPK and MAPKK gene families. *Trends in Plant Science* 11(4): 192-198.
- Ho, C. H., Lin, S. H., Hu, H. C. and Tsay, Y. F. (2009) CHL1 functions as a nitrate sensor in plants. *Cell* 138(6): 1184-1194.
- Kim, B. G., Waadt, R., Cheong, Y. H., Pandey, G. K., Dominguez-Solis, J. R., Schültke, S. and Luan, S. (2007) The calcium sensor CBL10 mediates salt tolerance by regulating ion homeostasis in *Arabidopsis*. *The Plant Journal* 52(3): 473-484.
- Kim, K. N., Cheong, Y. H., Gupta, R. and Luan, S. (2000) Interaction specificity of *Arabidopsis* calcineurin B-like calcium sensors and their target kinases. *Plant physiology* 124(4): 1844-1853.
- Kleist, T. J., Spencley, A. L. and Luan, S. (2014) Comparative phylogenomics of the CBL-CIPK calcium-decoding network in the moss *Physcomitrella*, *Arabidopsis*, and other green lineages. *Frontiers in Plant Science* 5: 187.
- Kolukisaoglu, Ü., Weinl, S., Blazevic, D., Batistic, O. and Kudla, J. (2004) Calcium sensors and their interacting protein kinases: genomics of the *Arabidopsis* and rice CBL-CIPK signaling networks. *Plant Physiology* 134(1): 43-58.
- Kudla, J., Xu, Q., Harter, K., Griessem, W. and Luan, S. (1999) Genes for calcineurin B-like proteins in *Arabidopsis* are differentially regulated by stress signals. *Proceedings of the National Academy of Sciences* 96(8): 4718-4723.
- Luan, S. (2009) The CBL-CIPK network in plant calcium signaling. *Trends in Plant Science* 14(1): 37-42.
- Luan, S., Kudla, J., Rodriguez-Concepcion, M., Yalovsky, S. and Griessem, W. (2002) Calmodulins and calcineurin B-like proteins calcium sensors for specific signal response coupling in plants. *The Plant Cell Online* 14(suppl 1): S389-S400.
- Mahajan, S., Sopory, S. K. and Tuteja, N. (2006) Cloning and characterization of CBL-CIPK signalling components from a legume (*Pisum sativum*). *The Federation of European Biochemical Societies Journal* 273(5): 907-925.
- Mao, J., Manik, S., Shi, S., Chao, J., Jin, Y., Wang, Q. and Liu, H. (2016) Mechanisms and physiological roles of the CBL-CIPK networking system in *Arabidopsis thaliana*. *Genes* 7(9): 62.
- Mohanta, T. K., Malnoy, M., Mohanta, N. and Kanchiswamy, C. N. (2014) In-silico identification and phylogenetic analysis of auxin efflux carrier gene family in *Setaria italica* L. *African Journal of Biotechnology* 13(2): 211-225.
- Mohanta, T. K. and Mohanta, N. (2013) Genome wide identification of auxin efflux carrier gene family in *Physcomitrella patens*. *Journal of Biotechnological Sciences* 1: 54-64.
- Mohanta, T. K., Mohanta, N., Mohanta, Y. K., Parida, P. and Bae, H. (2015) Genome-wide identification of Calcineurin B-Like (CBL) gene family of plants reveals novel conserved motifs and evolutionary aspects in calcium signaling events. *BioMed Central Plant Biology* 15(1): 9-18.
- Monihan, S. (2011) The *Arabidopsis* Calcineurin B-Like10 calcium sensor couples environmental signals to developmental responses. PhD thesis, The University of Arizona, Tucson, United States of America.

- Pandey, G. K., Cheong, Y. H., Kim, K. N., Grant, J. J., Li, L., Hung, W. and Luan, S. (2004) The calcium sensor calcineurin B-like 9 modulates abscisic acid sensitivity and biosynthesis in *Arabidopsis*. *The Plant Cell* 16(7): 1912-1924.
- Pandey, G. K., Kanwar, P., Singh, A., Steinhorst, L., Pandey, A., Yadav, A. K. and Lee, S. C. (2015) CBL-interacting protein kinase, CIPK21, regulates osmotic and salt stress responses in *Arabidopsis*. *Plant Physiology* pp- 00623.
- Qiu, Q. S., Guo, Y., Dietrich, M. A., Schumaker, K. S. and Zhu, J. K. (2002) Regulation of SOS1, a plasma membrane Na⁺/H⁺ exchanger in *Arabidopsis thaliana*, by SOS2 and SOS3. *Proceedings of the National Academy of Sciences* 99(12): 8436-8441.
- Quan, R., Lin, H., Mendoza, I., Zhang, Y., Cao, W., Yang, Y. and Guo, Y. (2007) SCABP8/CBL10, a putative calcium sensor, interacts with the protein kinase SOS2 to protect *Arabidopsis* shoots from salt stress. *The Plant Cell* 19(4): 1415-1431.
- Reddy, A. S., Ali, G. S., Celesnik, H. and Day, I. S. (2011) Coping with stresses: roles of calcium-and calcium/calmodulin-regulated gene expression. *The Plant Cell* 3(6): 2010-2032.
- Rudd, J. J. and Franklin-Tong, V. E. (2001) Unravelling response-specificity in Ca²⁺ signalling pathways in plant cells. *New Phytologist* 151(1): 7-33.
- Schlicker, A., Domingues, F. S., Rahnenführer, J. and Lengauer, T. (2006) A new measure for functional similarity of gene products based on gene ontology. *BioMed Central Bioinformatics* 7(1): 302.
- Shao, H., Chu, L., Jaleel, C. A. and Zhao, C. (2008) Water-deficit stress-induced anatomical changes in higher plants. *Comptes Rendus Biologies* 331(3): 215-225.
- Tang, R. J., Liu, H., Yang, Y., Yang, L., Gao, X. S., Garcia, V. J. and Zhang, H. X. (2012) Tonoplast calcium sensors CBL2 and CBL3 control plant growth and ion homeostasis through regulating V-ATPase activity in *Arabidopsis*. *Cell Research* 22(12): 1650-1665.
- Tang, R. J., Zhao, F. G., Garcia, V. J., Kleist, T. J., Yang, L., Zhang, H. X. and Luan, S. (2015) Tonoplast CBL-CIPK calcium signaling network regulates magnesium homeostasis in *Arabidopsis*. *Proceedings of the National Academy of Sciences* 112(10): 3134-3139.
- Velásquez, A. C., Chakravarthy, S. and Martin, G. B. (2009) Virus-induced gene silencing (VIGS) in *Nicotiana benthamiana* and tomato. *Journal of Visualized Experiments* 28: 1292.
- Wang, M., Gu, D., Liu, T., Wang, Z., Guo, X., Hou, W. and Wang, G. (2007) Overexpression of a putative maize calcineurin B-like protein in *Arabidopsis* confers salt tolerance. *Plant Molecular Biology* 65(6): 733-746.
- Xu, J., Li, H. D., Chen, L. Q., Wang, Y., Liu, L. L., He, L. and Wu, W. H. (2006) A protein kinase, interacting with two calcineurin B-like proteins, regulates K⁺ transporter AKT1 in *Arabidopsis*. *Cell* 125(7): 1347-1360.
- Zhang, H., Yin, W. and Xia, X. (2008) Calcineurin B-Like family in *Populus*: comparative genome analysis and expression pattern under cold, drought and salt stress treatment. *Plant Growth Regulation* 56(2): 129-140.
- Zhu, J. K. (2002) Salt and drought stress signal transduction in plants. *Annual Review of Plant Biology* 53: 247-273.
- Zhu, J. K. (2016) Abiotic stress signaling and responses in plants. *Cell* 167(2): 313-324.